

будут

$$T_{\text{ср}} \quad (3.2)$$

сияния ( $M_r$ ,  $T_r$ ),  
ная нагрузка  $Z$   
чи (19 стр. 36)  
т формы пеходной

$$(3.3)$$

$$j=1, 2 \quad (3.4)$$

ным условиям

$$(3.5)$$

ирения оболочки,

$$j=1, 2 \quad (3.6)$$

одуль упругости  
и температурное  
и только по тол-  
(1)), то под влия-  
ние расширение,  
я деформация от  
мента  $M_p$  и опор-

ки любой формы  
бия внешних на-  
ин.

(3.1):  
и как равномерно  
ширины, равном

могут беспрепят-  
формы, получает

июль 10 III 1957

ых оболочек. Изд.

1935.  
чек ГИТТЛ, 1953.  
Гостехиздат, 1947.  
никах и оболочках.

## О РАЗВЕТВЛЕНИИ УСТОЙЧИВЫХ ПОЛОЖЕНИЙ ДИНАМИЧЕСКОГО РАВНОВЕСИЯ ОДНОЙ МЕХАНИЧЕСКОЙ СИСТЕМЫ

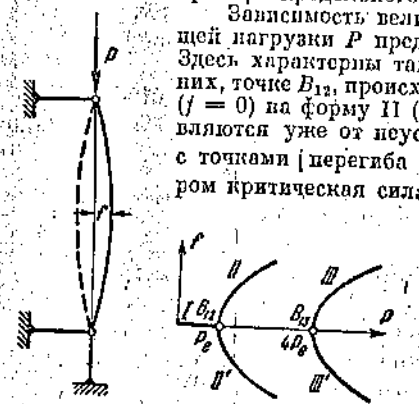
А. Ю. ИШЛИНСКИЙ, С. В. МАЛАШЕНКО, М. Е. ТЕМЧЕНКО

(Киев)

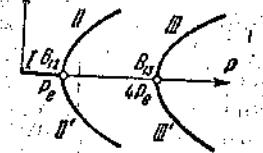
Впервые вопрос о возможности одновременного существования нескольких положений равновесия одной и той же механической системы при одинаковых же внешних обстоятельствах был теоретически обнаружен Эйлером и развит Лагранжем на примере продольного изгиба скатого стержня (фиг. 1).

Зависимость величины прогиба стержня  $f$  от действия сжимающей нагрузки  $P$  представляется графиком, изображенным на фиг. 2. Здесь характерны так называемые точки бифуркации. В первой из них, точке  $B_1$ , происходит смена устойчивой прямолинейной формы I ( $f = 0$ ) на форму II (без точек перегиба). В дальнейших точках отвечаются уже от неустойчивой формы I новые неустойчивые формы с точками перегиба (при значении  $P = n^2 P_c$ ). Определенная Эйлером критическая сила  $P_c$  для стержня, изображенного на фиг. 1, равна, как известно, выражению

$$P_c = \frac{\pi^2 EI}{l^2}$$



Фиг. 1



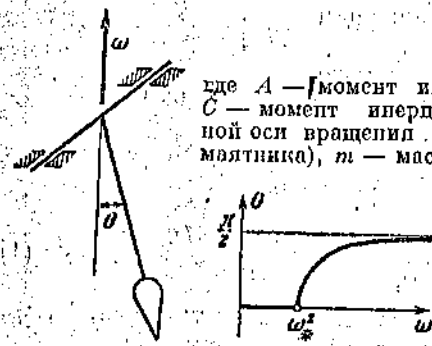
Фиг. 2

В случае, например, плоского маятника, ось подвеса которого вращается в горизонтальной плоскости (фиг. 3), существенным параметром, характеризующим состояние системы, является значение угловой скорости  $\omega$  вращения подшипников этой оси. Стационарная форма движения, при которой центр тяжести маятника остается неподвижным, будет иметь место, если

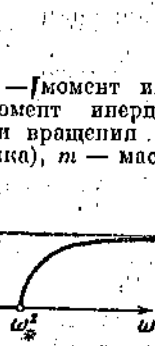
$$0 \leq \omega^2 \leq \omega_*^2 = \frac{mga}{A - C}$$

где  $A$  — момент инерции маятника вокруг оси его вращения;  $C$  — момент инерции относительно прямой, перпендикулярной оси вращения и проходящей через центр тяжести (линия маятника);  $m$  — масса маятника,  $a$  — расстояние между центром тяжести и осью. Если

$$\omega > \omega_* = \sqrt{\frac{mga}{A - C}}$$



Фиг. 3



Фиг. 4

на угол  $\theta$ , определяемый тригонометрическим соотношением

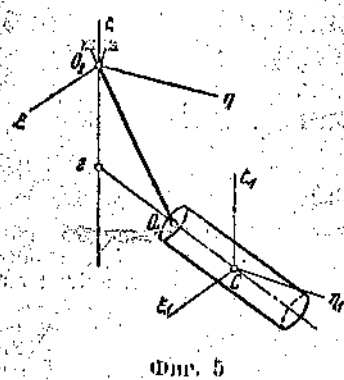
$$\cos \theta = \frac{mga}{(A - C)\omega^2}$$

Зависимость угла  $\theta$  от изменения угловой скорости  $\omega$  представлена на фиг. 4, где  $\omega_*$  — критическое значение.

До сих пор молчаливо принималось, что в точках разветвления положений равновесия или стационарного движения (в точках бифуркации) всегда происходит либо смена одной устойчивой формы равновесия или стационарного движения на другую, либо возникают еще новые неустойчивые формы. Так по крайней мере обычно дело во всех из известных нам задач об отыскании равновесия различных систем.

Однако в ходе работ, проводимых Институтами математики и строительной механики АН УССР, был обнаружен новый, в точности архивной теории, случай такой механической системы, где разветвляющиеся форма и стабильная форма являются одновременно устойчивыми.

Последование автора основано на понятии инстанции статики.



1. Рассмотрим осесимметричное твердое тело массы  $M$ , подвешенное на абсолютно гибкой линеющейся массе, струне длины  $l$ , которое находится в положении относительного равновесия по отношению к системе координат  $\xi\eta\zeta$ , вращающейся вокруг оси  $\zeta$  с постоянной угловой скоростью  $\omega$  (фиг. 5). Можно убедиться, что при этом ось  $\zeta$ , струна и ось симметрии тела должны лежать в одной плоскости. Начало координат системы  $\xi\eta\zeta$  расположим в точке крепления струны  $O_2$ . Ось  $\zeta$  направим вертикально вверх, а оси  $\xi$  и  $\eta$  расположим в плоскости, перпендикулярной оси  $\zeta$ .

В центре тяжести тела, точке  $C$ , поместим начало координат системы  $\xi_0\eta_0\zeta_0$ , оси которой параллельны осям системы  $\xi\eta\zeta$ , а также начало системы  $x\eta z$ , неизменно связанный с телом. Ось  $z$  этой системы направим по оси симметрии тела, а оси  $x$  и  $y$  расположим в плоскости, перпендикулярной оси  $z$ .

Обозначим буквой  $\alpha$  — угол между направлением струны и вертикалью  $\zeta$ , а буквой  $\phi$  — угол между вертикалью и осью симметрии исследуемого тела. На фиг. 6 показано положительное направление этих углов. Натяжение струны обозначим буквой  $T$ .

При составлении уравнений относительного равновесия рассматриваемого тела следует присоединить к действующим на него силам (включая и силы реакции связей), также и силы инерции переносного движения.

Будем считать, что из внешних сил на тело действует только сила тяжести  $Mg$  и натяжение струны  $T$ . Тогда нетрудно убедиться (фиг. 6), что проекции на оси  $\xi\eta\zeta$  главного вектора и главного момента силы тяжести  $Mg$  и натяжения струны  $T$  на оси  $\xi_0\eta_0\zeta_0$  соответственно имеют вид

$$\begin{aligned} F_\xi &= 0, \quad F_\eta = -T \sin \alpha, \quad F_\zeta = T \cos \alpha - Mg \\ M_\xi &= -Mg\eta_0, \quad M_\eta = 0, \quad M_\zeta = 0 \end{aligned} \quad (1)$$

где  $M$  — масса исследуемого тела,  $g$  — ускорение силы тяжести,  $\xi_0$ ,  $\eta_0$ ,  $\zeta_0$  — координаты центра тяжести тела в системе координат  $\xi\eta\zeta$ .

В свою очередь проекции главного вектора и главного момента силы инерции переносного движения выражаются следующими формулами

$$\begin{aligned} F_\xi^{(i)} &= M\omega^2\xi_0, \quad F_\eta^{(i)} = M\omega^2\eta_0, \quad F_\zeta^{(i)} = 0 \\ M_\xi^{(i)} &= -J_{\eta\zeta}\omega^2, \quad M_\eta^{(i)} = J_{\xi\zeta}\omega^2, \quad M_\zeta^{(i)} = 0 \end{aligned} \quad (2)$$

Здесь  $J_{\eta\zeta}$ ,  $J_{\xi\zeta}$  — центробежные моменты инерции относительно осей системы координат  $\xi\eta\zeta$ .

Вычислим  $\zeta$   
Нетрудно в  
 $\xi_0 =$

Между цен  
координат  $\xi\eta\zeta$

Обозначим  $\alpha$   
относительно  $\zeta$

Центральная  
A и C посеред

Условия для  
формул (1) —

$T \sin \alpha$

$\omega^2 [A - C] \sin \alpha$

$\omega^2 [(A - C) \sin \alpha]$

2. Зададим  
Рассмотрим  
отклонилось с  
совпадают с  
представим с

Здесь вели  
и  $\phi$  опущены  
Система у  
условий

представляю

$\omega_0$

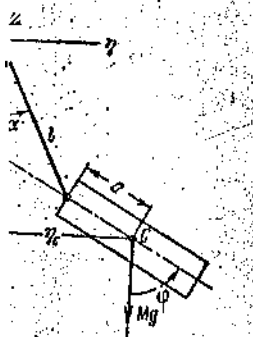
При усло  
всегда дейст  
значения угл  
ния, отличны  
дуской задачи  
 $\alpha = 0$  и  $\phi = 0$   
 $\phi = \phi_0 \neq 0$ .

Положени  
 $\omega = \pm \omega_0$  и

ния положений всегда происходит либо движение на другую, либо обстановка делается системой.

В строительной механике случай такой механизма является одновре-

менническое твердое тело имеет абсолютную струну длины  $l$ , краин относительно системы координат вокруг оси  $\zeta$  с тью,  $\omega$  (фиг. 5). Тогда ось  $\zeta$ , струна и лежать в одной плоскости системы  $\xi\eta\zeta$  движения струны  $O_2$ , то вверх, а ось  $\zeta$  перпендикулярно координатам струны и также началь-



Фиг. 6  
системы этих

$$Mg \quad (1)$$

тяжести,  $\xi_c$ ,  $\eta_c$ ,  
и  $\xi\eta\zeta$ .  
ого момента сил  
формулами

$$0 \quad (2)$$

относительно осей

Вычислим теперь величины, которые входят в соотношения (1) и (2). Нетрудно видеть (фиг. 6), что

$$\xi_c = 0, \quad \eta_c = l \sin \alpha + a \sin \varphi, \quad \zeta_c = -l \cos \alpha - a \cos \varphi \quad (3)$$

Между центробежными моментами инерции относительно осей системы координат  $\xi\eta\zeta$  и введенной ранее системы  $\xi_1\eta_1\zeta_1$  имеют место соотношения

$$J_{\xi\zeta} = J_{\xi_1\zeta_1} + M\xi_c\zeta_c, \quad J_{\eta\zeta} = J_{\eta_1\zeta_1} + M\eta_c\zeta_c \quad (4)$$

Обозначим через  $A$ ,  $B$ ,  $C$  главные центральные моменты инерции тела относительно осей  $xyz$  (вследствие симметрии  $A = B$ ).

Центробежные моменты инерции  $J_{\xi_1\zeta_1}$ ,  $J_{\eta_1\zeta_1}$  выражаются через величины  $A$  и  $C$  посредством формул

$$J_{\xi_1\zeta_1} = 0, \quad J_{\eta_1\zeta_1} = -(A - C) \cos \varphi \sin \alpha \quad (5)$$

Условия относительного равновесия исследуемого тела после учета формул (4) — (5) приводятся к виду

$$\begin{aligned} -T \sin \alpha + M \omega^2 (l \sin \alpha + a \sin \varphi) &= 0, \quad T \cos \alpha - Mg = 0 \\ \omega^2 [-(A - C) \sin \varphi \cos \alpha - M(l \sin \alpha + a \sin \varphi)(l \cos \alpha + a \cos \varphi)] + Mg(l \sin \alpha + a \sin \varphi) &= 0 \end{aligned} \quad (6)$$

Из первого и второго условий равновесия (6) исключим напряжение силы  $T$ . В результате получим следующие уравнения для определения углов  $\alpha$  и  $\varphi$ , определяющих положение относительного равновесия рассматриваемого тела

$$\begin{aligned} \omega^2 l \sin \alpha \cos \alpha + \omega^2 a \sin \varphi \cos \alpha - g \sin \alpha &= 0 \\ \omega^2 [(A - C) \sin \varphi \cos \varphi + Ma^2 \sin \varphi \cos \varphi + Mal \sin \alpha \cos \varphi] - Mg a \sin \varphi &= 0 \end{aligned} \quad (7)$$

2. Займемся теперь изучением соотношений (7).

Рассмотрим вначале случай, когда исследуемое тело незначительно отклонилось от положения, при котором струна и ось симметрии тела совпадают с вертикалью. Предполагая в этом случае углы  $\alpha$  и  $\varphi$  малыми, представим соотношения (7) в виде

$$\begin{aligned} \omega^2 a \varphi + (\omega^2 l - g) \alpha &= 0 \\ [-Mga + Ma^2 \omega^2 + (A - C) \omega^2] \varphi + Mal \omega^2 \alpha &= 0 \end{aligned} \quad (8)$$

Здесь величины второго и более высоких порядков относительно углов  $\alpha$  и  $\varphi$  опущены.

Система уравнений (8) будет иметь решения, отличные от нуля, при условии

$$\omega^4 - \frac{g}{l} \left[ 1 + \frac{Ma(l+a)}{A-C} \right] \omega^2 + \frac{g}{l} \frac{Mga}{A-C} = 0 \quad (9)$$

представляющем собой алгебраическое уравнение, корни которого

$$\begin{aligned} \omega_{1234} &= \pm \left[ \frac{g}{l} \left\{ \frac{1+\mu+v}{2} \pm \left[ \left( \frac{1+\mu+v}{2} \right)^2 - \mu \right]^{1/2} \right\} \right]^{1/2} \\ (\mu &= \frac{Mal}{A-C}, \quad v = \mu \frac{a}{l}) \end{aligned} \quad (10)$$

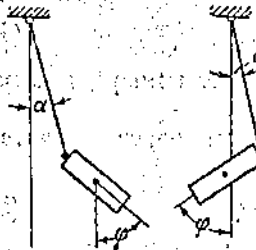
При условии  $A > C$  (продолговатое тело) корни (10) уравнения (9) всегда действительны. При решении уравнения (9) получаются четыре значения угловой скорости  $\pm \omega_1$  и  $\pm \omega_2$ , при которых возможны решения, отличные от нуля. Это означает, что в линейной постановке исследуемой задачи, кроме положения динамического равновесия, при котором  $\alpha = 0$  и  $\varphi = 0$ , существуют и другие положения, при которых  $\alpha = \alpha_0 \neq 0$ ,  $\varphi = \varphi_0 \neq 0$ .

Положения динамического равновесия, которые образуются при  $\omega = \pm \omega_1$  и  $\omega = \pm \omega_2$ , качественно отличаются друг от друга.

Покажем это. Из первого уравнения (8) определим отношение

$$\frac{\varphi}{\alpha} = \frac{g - \omega^2 l}{\omega^2 a} \quad (11)$$

Подставляя в это равенство вместо параметра  $\omega$  значения  $[\pm \omega_1]$ , учитывая (10), получим



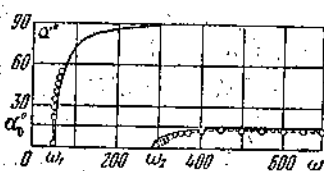
$$\frac{\varphi}{\alpha} = \frac{g[1 - \mu - \nu + \sqrt{(1 + \mu + \nu)^2 - 4\mu}]}{2a(\omega_1)^2} \quad (12)$$

Учитывая, что  $a > 0$ ,  $\mu > 0$  и  $\nu > 0$ , нетрудно показать, что отношение  $\varphi/\alpha$  в рассматриваемом случае  $[\omega = \pm \omega_1]$  положительно.

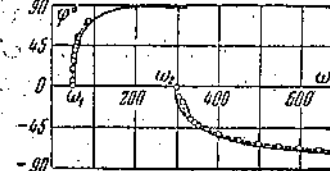
Соответствующее положение динамического равновесия схематически изображено на фиг. 7. Движение модели в этом случае подобно движению сферического маятника. Проводя аналогичные рассуждения, можно показать, что отношение  $\varphi/\alpha$  при  $\omega = \pm \omega_2$  отрицательно. Положение модели в этом случае ( $\varphi < 0$ )

схематически изображено на фиг. 8.

Чтобы построить зависимость углов  $\alpha$  и  $\varphi$  от угловой скорости  $\omega$ , следует решить численно систему уравнений (7). Анализ этого решения показывает, что при  $0 < \omega < \omega_1$  эта система имеет единственное решение



Фиг. 9



Фиг. 10

$\alpha = \varphi = 0$ , чему соответствует положение стационарного вращения тела, при котором его ось  $z$  вертикальна. Если  $\omega_1 < \omega < \omega_2$ , то, кроме этого решения, существует еще другое решение, при котором  $\varphi/\alpha > 0$ . Соответствующее положение относительного равновесия тела имеет вид, схематически изображенный на фиг. 7. При значениях скорости вращения тела, большем  $\omega_2$ , кроме них существуют еще положения равновесия, изображенные схематически на фиг. 8. При этом  $\varphi/\alpha < 0$ .

Графики зависимости углов  $\alpha$  и  $\varphi$  от угловой скорости  $\omega$  для одной конкретной модели имеют вид<sup>1</sup>, изображенный сплошными кривыми на фиг. 9, где  $\alpha_0^\circ = \arg \sin a/l$ , и на фиг. 10.

Стационарное вращение тела, при котором нить вертикальна, устойчиво при любом значении числа оборотов его вращения. Это было теоретически доказано в [2] и подтверждено экспериментами, описание которых приведено ниже. Исследование устойчивости одного из упомянутых выше стационарных движений твердого тела, при котором ось динамической симметрии тела наклонна к вертикали, посвящено исследование [4].

3. Для проверки теоретических результатов, изложенных выше, была проведена серия экспериментальных исследований<sup>2</sup>.

Опыты проводились на установке, изображенной на фиг. 11.

<sup>1</sup> Если тело таково, что  $A < C$ , то уравнение (9) имеет два действительных корня. Соответствующую форму стационарного вращения, соответствующую фиг. 8, становится в данном случае невозможной.

<sup>2</sup> Описанные ниже экспериментальные исследования проводились совместно с Э. В. Виртом и А. П. Полымянной.

К оси ве исследуемая устройство, ванное число оборотов, ме ный редуктор оборотов пр опыта к опи

Стабилизация электрическ В ходе каждого изме около двух

В качестве прямой круга  $\phi = 32$  мм, до точки  $K$

Опыты п на капронов

4. Наиме 30 об/мин. 1 по окончания

кальной оси оборотов от вертикального положения, схема магнитной фи зом стациона

отношение

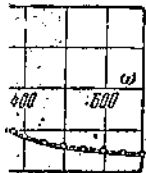
(11)

значения  $\frac{v^2}{\omega^2} - 4u$

(12)

$v^2 > 0$ , нетрудно рассматриваемом  
динамического равенства на фиг. 7. Движению аналогичные рас-  
сматриваемое  $\phi / \alpha$   
в случае ( $\phi < 0$ )

вой скорости  $\omega$ ,  
из этого решения  
устойчивое реше-



вращения тела,  
кроме этого реше-  
ния. Соответствую-  
щие, схематически  
снята тела, боль-  
шь, изображенные

сти  $\omega$  для одной  
или кривыми на  
кальна, устой-  
чиво. Это было тео-  
ретическое, которых  
из упомянутых  
все динами-  
ко исследова-

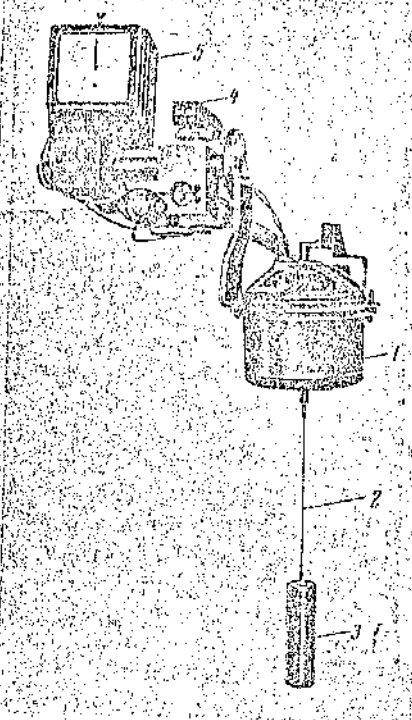
женных выше,  
 $\omega^2$ .

фиг. 11.

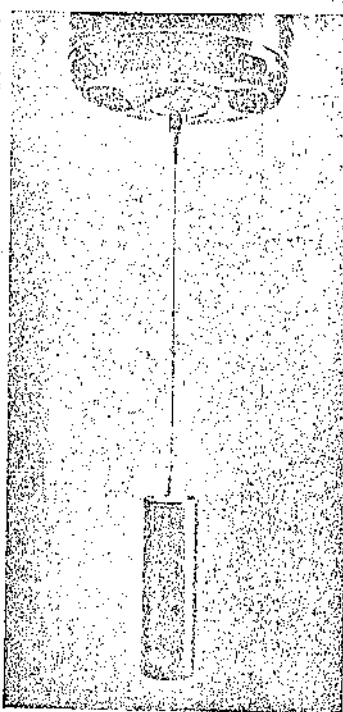
вательных корня.  
фиг. 8, становится

лись совместно с

К оси вертикально поставленного селсина 1 подвешивалась на струпе 2 исследуемая модель 3. Селсин приводился в движение от инверторного устройства, которое давало возможность получать строго стабилизированное число оборотов, начиная с 600 об/мин. Для получения чисел оборотов, меньших 600 об/мин, был использован специальный шестеречный редуктор, наличие которого давало возможность получать число оборотов вращения модели порядка 30—50 об/мин и изменять его от опыта к опыту на 1—2 об/мин.



Фиг. 11



Фиг. 12

Стабилизированное число оборотов селсина измерялось при помощи электрического контактного счетчика 4 и электросекундомера 5 (фиг. 11). В ходе каждого опыта контролировалось число оборотов мотора привода, причем изменение числа оборотов мотора в течение опыта длительностью около двух часов не превышало долей процента.

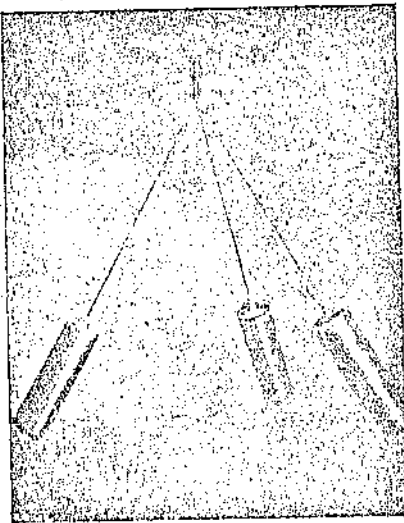
В качестве модели, над которой производились испытания, был взят прямой круговой цилиндр 3 (фиг. 11), вес которого  $Mg = 580$  г, диаметр  $\phi = 32$  мм, высота  $h = 100$  мм, расстояние от центра тяжести модели до точки крепления ее со струной  $a = 64$  мм.

Опыты проводились на стальной струне длины  $l = 250$  мм, а также на капроновой нити той же длины.

4. Наименьшая угловая скорость вращения струны была равна 30 об/мин. При различных угловых скоростях от 30 до 50 об/мин модель, по окончании переходного процесса, устойчиво вращалась вокруг вертикальной оси, совпадающей с осью симметрии модели (фиг. 12). При числе оборотов от 50 об/мин и выше, кроме стационарного вращения вокруг вертикальной оси, можно было наблюдать и другое стационарное движение, схематически изображенное на фиг. 7. На фиг. 13 при помощи искровой фотосъемки зафиксированы три положения модели в этом новом стационарном движении.

Стационарное движение, при котором ось симметрии модели вертикальна, будем в дальнейшем обозначать цифрой I, а новое стационарное движение с наклонной осью модели (фиг. 7 и фиг. 13) соответственно цифрой II.

В случае, когда модель прикреплена к мотору при помощи стальной струны, стационарное вращение I в интервале 50—58 об/мин становилось практически неустойчивым, и модель без возмущений извне, после сравнительно долгого переходного процесса (до 10—15 мин.) переходила в положение II. В отличие от стационарного вращения I, движение II в этом интервале значений угловой скорости было совершенно устойчиво.



Фиг. 13



Фиг. 14

Угол  $\alpha$  (фиг. 7), характеризующий стационарное движение II, существенно зависит от угловой скорости  $\omega$ . При увеличении  $\omega$  угол  $\alpha$  увеличивается, стремясь в пределе к  $\frac{1}{2}\pi$ . Угол  $\varphi$  в рассматриваемом случае мало отличается от угла  $\alpha$ .

При изменении значения угловой скорости вращения модели переход от одного положения относительного равновесия к другому происходит довольно медленно, примерно в течение 5—10 мин. В процессе этого перехода модель совершает вращательные колебания вокруг оси собственного вращения, которые затухают, и движение модели в положении II становится подобным движению сферического маятника.

Для определения зависимости угла  $\alpha$  от угловой скорости модели  $\omega$  была проведена серия опытов с фотогравитацией угла  $\alpha$  при различных значениях угловой скорости, изменяющейся в пределах от 50 до 64 об/мин. Как только при определенном числе оборотов движение модели достигало стационарного состояния, со движением непосредственно регистрировалось на фотопластинке. На фиг. 14 представлена образец фотосъемки модели. Измеряя угол между двумя крайними отклонениями модели на фотографии, можно определить тем самым искомый угол  $\alpha$ .

При измерении угла  $\varphi$  оказалось, что в рассматриваемом случае его величина практически (с точностью до измерений) совпадает с величиной угла  $\alpha$ . Результаты измерения приведены в табл. 1, где указаны также теоретические значения  $\alpha'$  и  $\varphi'$ , вычисленные на основании соотношений (7).

В ходе экспериментальных исследований возник вопрос о том, возможно ли при значениях угловой скорости вращения модели в диапазоне

50—58 об/мин и стационарное вращение I в вращение II. При малейшем перейти во II.

Тогда эта тору солница, чае стационар зоне 50—58 об движение II.

При угловое вращение вым это завис края листа номощи стру приди.

Таким образом струны и жжения моделиного положения равновесия с весьма узким числа оборотами 50—55 давания устойчивого движения незначительны и стационарны.

Переход в равновесия I происходит. Наш последний участь в стороне струны и вер отпускалась величина его.

5. При ужения дина наблюдать вражеское и фиксирована.

В случае струны, трогаю, как только устойчивое нарушается, тому на фиг. I было неустойчивой скоростью получив движений I лей при пом стационарное вращение, а имея скорость по значительного при помощи

и модели вертикальное стационарное соответственно). При помощи стальной струны становилось, после срывки, (переходила в I, движение II.

50—58 об/мин получить устойчивым не только движение II, но также и стационарное вращение I. Как уже было ранее отмечено, в случае крепления к мотору модели при помощи стальной струны стационарное вращение I в этом диапазоне угловых скоростей было неустойчивым. При малейшем возмущении, нанесенном модели, последняя стремилась перейти во второе положение динамического равновесия.

Тогда эта же серия опытов была проведена при подвесе модели к ротору селсина при помощи капроновой пряжи. Выяснилось, что в этом случае стационарное вращение I при изменении угловой скорости в диапазоне 50—58 об/мин устойчиво. Чтобы перевести модель в стационарное движение II, необходимо резко ударить ее металлическим предметом.

При угловой скорости модели, равной 58 об/мин и выше, стационарное вращение I (ось симметрии модели вертикальна) оказалось устойчивым вне зависимости от того, прикреплена ли модель к мотору при помощи струны или капроновой пряжи.

Таким образом, влияние стальной струны на устойчивость движения модели вокруг вертикального положения динамического равновесия существенно только в весьма узком диапазоне изменения числа оборотов ее вращения, именно 50—58 об/мин. Для исследования устойчивости стационарного движения II по модели наносились легкие удары. Оказалось, что незначительные возмущения не меняют характера движения модели, и стационарное движение II следует считать устойчивым.

Переход из стационарного движения I в положение динамического равновесия II возможен при нанесении модели соответствующего возмущения. Например, при угловой скорости модели, равной 65 об/мин, последняя устойчиво вращалась в положении I. Далее модель отводилась в сторону так, чтобы угол  $\alpha$ , образующийся между направлением струны и вертикалью (фиг. 7), был равен около  $5^\circ$ . После этого модель отпускалась, после чего угол  $\alpha$  медленно возрастал. Спустя 60—90 мин. величина его достигала, наконец, стационарного значения  $48^\circ 5'$  (табл. 1).

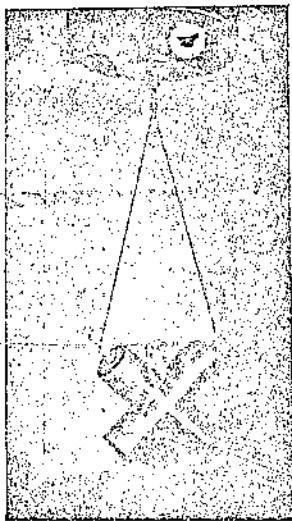
5. При угловой скорости модели, равной 270 об/мин, кроме положения динамического равновесия II, описанного выше, можно было наблюдать положение динамического равновесия III, схематически изображенное на фиг. 8. На фиг. 15 при помощи искровой фотосъемки зафиксирована модель в этом третьем стационарном движении.

В случае, когда модель прикреплена к мотору при помощи стальной струны, третью положение равновесия легко обнаружится сама собой. Именно, как только угловая скорость исследуемой модели достигает 270 об/мин, устойчивое ее вращение, соответствующее стационарному движению I, нарушается, и она стремится к стационарному движению, зафиксированному на фиг. 15. При этом следует заметить, что стационарное вращение I было неустойчивым не только при 270 об/мин, но и в диапазоне угловой скорости 270—600 об/мин. В процессе испытаний была сделана попытка получить в этом диапазоне угловых скоростей оба стационарных движения I и III. С этой целью подвес модели к мотору был осуществлен при помощи капроновой пряжи. Оказалось, что и в этом случае стационарное вращение I было неустойчивым, но уже в более узком интервале, а именно 270—400 об/мин. Характерно, что в этом диапазоне угловой скорости потеря устойчивости стационарного вращения I происходит значительно медленнее, чем это имело место при подвесе модели к мотору при помощи стальной струны.

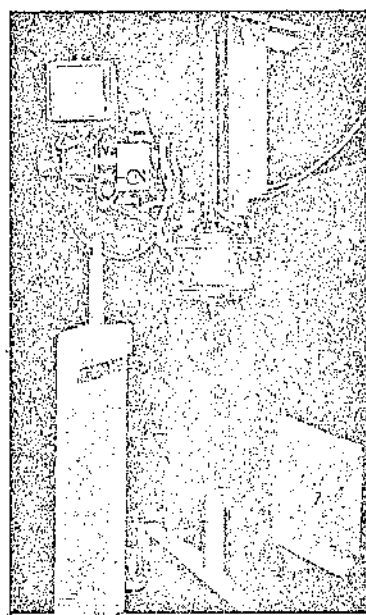
Таблица I

об/мин $\omega$	$\alpha, \varphi$	$\alpha'$	$\varphi'$
53	$4^\circ$	$34'$	$36'$
55	$18^\circ 50'$	$20^\circ 15'$	$21^\circ 29'$
57	$28^\circ 05'$	$29^\circ 18' .5$	$30^\circ 20'$
59	$34^\circ$	$35^\circ 26' .5$	$36^\circ 35'$
61	$41^\circ 45'$	$40^\circ 18' .5$	$41^\circ 29'$
63	$43^\circ 15'$	$43^\circ 59'$	$43^\circ 38'$
65	$48^\circ 5'$	$47^\circ 44'$	$48^\circ 55'$
67	$51^\circ 15'$	$50^\circ 43'$	$51^\circ 53'$
70	$55^\circ 40'$	$54^\circ 34'$	$55^\circ 53'$

В дальнейших опытах была осуществлена тщательная балансировка модели, усовершенствовано крепление струны к мотору и к телу, осуществлен плавный переход изменения угловой скорости от одного значения к другому. В результате было обнаружено устойчивое стационарное вращение I во всем упомянутом выше диапазоне угловых скоростей. Чтобы получить стационарное движение III, необходимо было наносить модели значительные возмущения.



Фиг. 15



Фиг. 16

Таким образом, в диапазоне изменения чисел оборотов вращения модели, равном 270—400 об/мин, весьма существенно сказываются на устойчивость стационарного вращения I неточности балансировки модели, способы крепления ее к мотору, плавность изменения чисел оборотов, т. е. факторы, не учитывавшиеся при изложении теории.

Начиная с угловой скорости 600—650 об/мин, стационарное вращение I, как и стационарное вращение III, становятся устойчивыми вне зависимости от балансировки модели и факторов, упомянутых выше.

Для регистрации углов  $\alpha$  и  $\phi$  (фиг. 8), характеризующих третье положение динамического равновесия модели, в зависимости от числа оборотов ее вращения, была проведена серия опытов с применением силуэтной фотосъемки. Общий вид испытательной установки представлен на фиг. 16.

К якорю селсина 1 на струне 2 подвешена испытуемая модель 3. Рядом с вращающейся моделью расположены экран 4. К экрану при помощи вакуумов 5 прикрепляется полоса осциллографной фотобумаги 6, которая экспонируется световым лучем, проходящим через отверстие в экране 7 от фильмоноскопа, расположенного за экраном. На фиг. 17 приведен образец такой фотосъемки. Цифрой 1 на этой фигуре обозначен силуэт конца якоря селсина, к которому при помощи струны прикреплена исследуемая модель, цифрой 3 обозначен силуэт двух крайних положений модели, цифрой 2 обозначен силуэт отвесной линии, необходимой для принципиального определения изогнутости. Имен силуэт исследуемой модели и силуэт ее в положении динамического равновесия III при данном фиксированием числе оборотов, путем элементарных геометрических построений находим интересующие нас углы  $\alpha$  и  $\phi$ .

Результаты опытов приведены в табл. 2. В этой таблице приведены также теоретические значения углов  $\alpha'$  и  $\phi'$ , вычисленные по формулам (7).

Так же, как второго положения модели это движение

Данные таблички соединенных зависимостей от угловой скорости

Как видно и экспериментально удовлетворительно

При числах получены все мачевского разряда модель из весия в другое весьма значительное перехода моделей

об/мин	
293	
300	
305	
310	
315	
320	
330	
340	
350	
370	
400	
450	
500	
550	
600	
650	
700	

то равновесия I, так и

Замечание о влиянии аэродинамики твердого тела

Для этого тела которой можно так и при понижении выше положения при повышении или возвращении положения динамического равновесия

1. Судя по
  2. Модель
  3. Использование
  4. Темчина
- струны. Но
- одинаковых
- вески одно

льная балансировка тору и к телу, осущест-  
вить от одного ана-  
томичного стационар-  
ного вращения скоростей.

Фиг. 16

оборотов вращения  
 что сказываются па-  
 балансировки моде-  
 лем чисел обо-  
 ки теории.  
 стационарное вращение  
 устойчивыми вне  
 упомянутых выше  
 ющих третье положи-  
 ции от числа оборотов  
 асм силуэтной фотог-  
 тавлей на фиг. 16.  
 выгнутая модель 3.  
 экрану при помоши  
 бумаги 6, которая  
 керстие в экране 7  
 фиг. 17 приведен  
 обозначен силуэт  
 зуны прикреплена  
 сранных положений  
 необходимой для  
 подвижной модели  
 III при данном  
 геометрических

забытое приведены  
 по формулам (7).

Так же, как и при исследовании устойчивости движений модели вокруг второго положения динамического равновесия, была исследована устойчивость ее движений вокруг III положения равновесия. Оказалось, что это движение устойчиво при любых оборотах вращения модели.

Данные табл. 1 и 2 нанесены в виде светлых точек, соединенных пунктиром, на графики (фиг. 9 и 10) зависимостей стационарных значений углов  $\alpha$  и  $\varphi$  от угловой скорости  $\omega$ .

Как видно из этих графиков, данные теоретических и экспериментальных исследований согласуются достаточно удовлетворительно.

При числах оборотов, больших 650 об/мин, были получены все три упомянутых выше положения динамического равновесия. Чтобы переводить движущуюся модель из одного положения динамического равновесия в другое, необходимо было наносить модели весьма значительные возмущения. Характерно, что переход модели ко второму положению динамическо-

Таблица 2

об/мин	$\alpha$	$\alpha'$	$\varphi$	$\varphi'$
293	2°23'	10'	-9°52'	-14'
300	3°30'	5° 9'	-14°	-19°42'
305	4°04'	6°32'	-16°34'	-25°17'
310	5°	7°37'	-20°50'	-29°54'
315	5°56'	8°25'	-25°06'	-33°27'
320	6°52'	9° 6'	-29°22'	-36°37'
330	9°06'	10° 8'	-38°33'	-41°40'
340	9°34'	10°56'	-42°17'	-45°53'
350	10°06'	11°34'	-45°30'	-40°29'
370	10°59'	12°22'	-51°23'	-54°32'
400	12°30'	13°17'	-59°	-61°20'
450	13°58'	14° 2'	-66°51'	-68°28'
500	14°11'	14°23'	-70°06'	-72°56'
550	14°	14°36'	-74°25'	-76°43'
600	14°15'	14°40'	-78°17'	-78°12'
650	14°30'	14°47'	-80°	-81° 7'
700		14°48'		-82° 1'

Фиг. 17

то равновесия можно было осуществить как из стационарного движения I, так и из стационарного движения III.

**Замечание.** В заключение отметим, что в ходе исследований был изучен вопрос о влиянии аэродинамических сил на поведение подвешенного на струне вращающегося твердого тела.

Для этого была сконструирована и построена специальная установка, при помощи которой можно было проводить исследования как при повышенном (до 1.5 атм), так и при пониженном (до 0.04 атм) атмосферном давлении. Оказалось, что описанные выше положения динамического равновесия исследуемой модели существуют как при повышенном, так и при пониженном давлении по сравнению с атмосферным. Влияние воздушной среды сказывается только на переходных процессах при переходе от положения динамического равновесия при одном числе оборотов к положению динамического равновесия при другом числе оборотов. Этот переход происходит быстрее при повышении и значительно медленнее при понижении давления.

Поступило 29 V 1957

#### ЛИТЕРАТУРА

- Суслов Г. И. Теоретическая механика. ГИТГЛ, 1946.
- Морозова Е. И. Об устойчивости вращения твердого тела, подвешенного на струне. ПММ, т. XX, вып. 5, 1956.
- Ишлини и А. Ю. Пример бифуркации, не приводящей к появлению неустойчивых форм стационарного движения. ДАН СССР, т. 117, № 1, 1957.
- Томчук М. Е. Об устойчивости одного из положений динамического равновесия одной механической системы. ДАН СССР, т. 117, № 1, 1957.